

論文

Ti-B系大入熱溶接用鋼のHAZ微視組織の特徴

大野 恭秀*・岡村 義弘*・松田 昭一*²
山本 広一*³・向井 俊夫*⁴

Characteristics of HAZ Microstructure in Ti-B Treated Steel for Large Heat Input Welding

Yasuhide OHNO, Yoshihiro OKAMURA, Shoichi MATSUDA,
Koichi YAMAMOTO and Toshio MUKAI

Synopsis:

Recently the needs for 50 kgf/mm² tensile strength steels with good HAZ toughness under the welding condition of large heat input have been increasing. A new type of 50 kgf/mm² tensile strength steel containing small amounts of Ti and B was developed for this purpose.

The steel is characterized by the microstructure in the HAZ which consists mainly of the intragranular ferrite plates(IFP) without the high carbon martensite islands and the small amount of the grain boundary allotriomorphs.

The toughness of IFP is very good due to its fine ferrite grain. Complex precipitates of TiN-MnS-Fe₂₃(CB)₆ act as nuclei of IFP and B addition suppresses the growth of grain boundary allotriomorphs. The authors suppose a mechanism that a carbon depleted zone formed around Fe₂₃(CB)₆ assists ferrite nucleation as the reason why IFP is produced effectively by these complex precipitates.

Key words: high strength low alloy steel; low carbon steel; steel for low temperature service; phase transformation; toughness; weldability.

1. 緒 言

近年におけるエネルギーコストの高騰から、カナダ/ボーフォート海など北極圏での石油ガス開発が活発化し、そのための石油掘削用人工島、碎氷タンカーなどの建造が計画されている。これらの構造物の建造に際し、溶接工数の節減、納期短縮などのため、大入熱溶接可能な鋼板の開発が強く要望されている。一方、LPGタンク、タンカーの溶接においても同様に大入熱化の傾向が強く、これらの両用途ともHT50で-50~-60°Cでの溶接部シャルピーの吸収エネルギーの値が要求される。

HAZ 韧性に関する研究は、ここ20年近く、特に大入熱溶接部の韧性改善という観点から精力的におこなわれてきている。Si-Mn系におけるHAZ 韧性を改善する手法として、Ceqの低減、Tiの少量添加によるオ

ステナイト粒およびフェライト粒の細粒化¹⁾、REM-B添加によるフェライト粒の微細化²⁾、固溶Nの低減³⁾などが知られている。従来のHT50の大入熱溶接部のHAZ粗粒域の代表的なミクロ組織は、粒界アロトリオモルフと島状マルテンサイトを含むウイドマンステンサイドプレートである。(この組織分類は、AARONSON⁴⁾に従う。)

従来からおこなわれているHAZ 韧性を改善するもうとも有効な方法はTiの少量添加で、微細なTiNの析出物がHAZのオーステナイト粒の粗大化を防止し、その結果、細かいフェライト、パーライトに変態する。最近、使用状況の変化からきびしい低温韧性を要求されTiNでは、ボンド部近傍で部分的にTiNが溶解し、オーステナイト粒の粗大化をもたらし、さらに固溶Nが増加して韧性が低下するのが大きな問題である。

著者らは、この基本的課題を解決するため、低N化を

昭和60年10月本会講演大会にて発表 昭和61年5月16日受付 (Received May 16, 1986)

* 新日本製鉄(株)八幡技術研究部 (Yawata R & D Lab., Nippon Steel Corp., 1-1-1 Edamitsu Yahatahigashi-ku Kitakyushu 805)

*² 新日本製鉄(株)素材第二研究センター 工博 (Materials Research Lab. - II, Nippon Steel Corp.)

*³ 新日本製鉄(株)厚板・条鋼研究センター (Plate, Bar, Shape & Wire Rod Research Lab., Nippon Steel Corp.)

*⁴ 新日本製鉄(株)特別基礎第一研究センター 工博 (Fundamental Research Lab. - I, Nippon Steel Corp.)

ベースにフェライトの細粒化をはかる方法を検討した。その結果、以下に示すように低N鋼において、微量のTi, Bを添加することにより、固溶Nが低減され、しかも、著しい粒内フェライト変態の促進によりフェライト粒が微細化され、大入熱溶接後のHAZ靭性が大幅に改善されることを見出した。その改善の機構を中心に検討をおこなった結果を報告する。

2. 実験方法

2.1 供試鋼

Table 1に供試鋼の化学成分を示す。鋼Aは低N系、鋼Bは低N-Ti-B系で、170t転炉で出鋼し、造塊後加熱圧延した板厚32mmのHT50である。

2.2 実験方法

(1) 溶接継手部の衝撃試験

Table 1に示す供試材より12×12×80mmの試片を作成し、富士電波製高周波誘導加熱装置を用いて、試片の中央部に最高温度1400°Cの溶接再現熱サイクルを付与し、これから2mmVシャルピー試片を切り出し衝撃試験をおこなった。また、片面1層潜弧溶接をおこない、その継手部の靭性を調査した。

(2) 変態挙動および粒内変態核の観察

Table 1に示す供試材について3φmm×10mmの試片を切り出し、全自动変態測定装置Formaster-Fにより、相当入熱量130kJ/cm、最高温度1400°Cの熱サイクルを与える、冷却途中の種々の温度より急冷し、横断面を研磨後、5%ナイタールで腐食し、光学顕微鏡で観察した。また、粒界および粒内フェライトの成長速度を測定した。低N-Ti-B系については、旧γ粒界近傍のB析出物を、B-autoradiography、微小領域分析電子顕微鏡により分析した。

また、粒内変態開始直後に焼入れした試料を用いて、非水溶液を用いたSpeed法⁵⁾で腐食後抽出レプリカを作成し、微小領域分析電子顕微鏡により粒内変態核の観察をおこなった。

3. 実験結果

3.1 溶接部靭性と組織の比較

鋼A,Bについて再現熱サイクルを付与し、これらのシャルピー試験をおこなった結果をFig. 1に示す。入熱量100kJ/cm相当以上の靭性は、破面遷移温度 T_{rs} が、低N系で-20°C、低N-Ti-B系で-50°C程度であつた。この図に示すように低N系に微量のTi, Bを添加することにより大入熱溶接部の靭性が著しく向上した。その原因について以下に調査した。

両鋼種の再現熱サイクル後の光学顕微鏡組織を入熱量130kJ/cm相当材についてPhoto. 1に示す。また、これらのシャルピー試片の破面をSEMで観察し、脆性破壊の破面単位を測定した。破面の写真をPhoto. 2に示す。

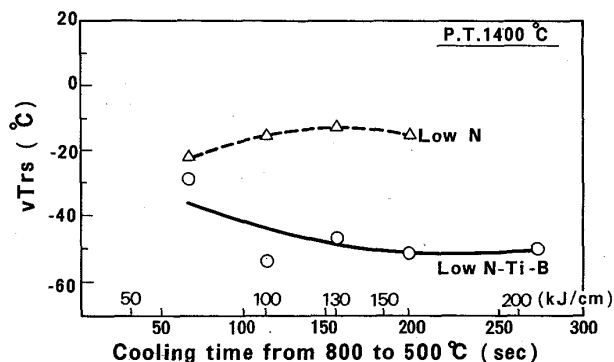
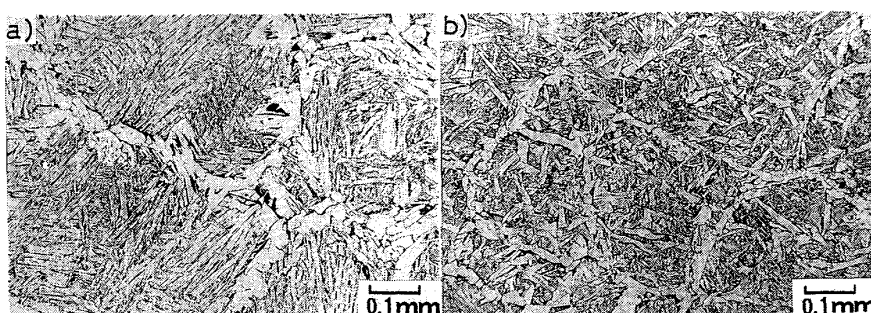


Fig. 1. Relationship between vT_{rs} and cooling rate of simulated thermal HAZ.

Table 1. Chemical compositions of steel (wt%).

Steel	Type	C	Si	Mn	P	S	B	Al	Ti	N	Ceq
A	Low N	0.09	0.27	1.35	0.009	0.002	—	0.031	—	0.0022	0.33
B	Low N-Ti-B	0.08	0.26	1.38	0.007	0.001	0.0011	0.055	0.007	0.0021	0.32



a) Low N b) Low N-Ti-B
Photo. 1. Microstructures of simulated thermal HAZ.

す。破面単位は、鋼Aで300μm、鋼Bで80μmであつた。このように破面単位が細かくなる原因是微視的組織差にあると考えられる。

Photo. 1に示すように低N系は粗大オーステナイト粒界より粒界アロトリオモルフが生成し、粒内は粗大なワイドマンステッテンサイドプレート組織である。一方、低N-Ti-B系は、低N系よりは細かいオーステナイト粒界に幅の狭い粒界アロトリオモルフが生成し、粒内は、板状の粒内フェライト(Intragranular Ferrite Plate, 以下IFP)が多数観察される。

このように、低N-Ti-B系の破面単位が細かいのは、オーステナイトからフェライトに変態する際、多数の粒内変態が生じ、オーステナイトが分断されていることによつている。

つぎに、これら2鋼種の実溶接継手部の靭性比較をおこなつた。Fig. 2に試験結果を示す。Photo. 3に継手部の光学顕微鏡組織を示すが、再現熱サイクル同様、低N-Ti-B系は、IFPの発達した組織である。

3.2 変態過程の観察

相当入熱130kJ/cm、最高温度1400°Cの再現熱サイクルの冷却途中の730°C~550°Cの間の種々の温度より

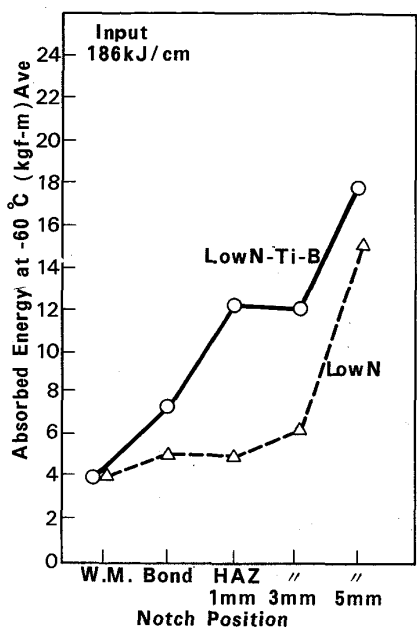
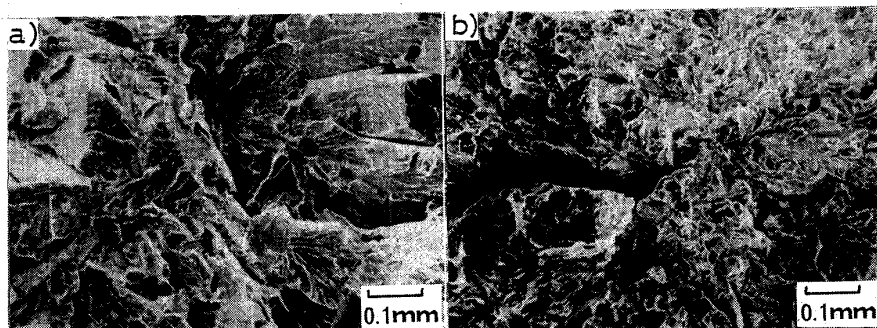


Fig. 2. Charpy test results of one side one-pass submerged welded joint.

急冷し、オーステナイトからフェライトに変態する過程を観察した。Photo. 4に光学顕微鏡で観察した結果の



a) Low N b) Low N-Ti-B
Photo. 2. Fracture surfaces.

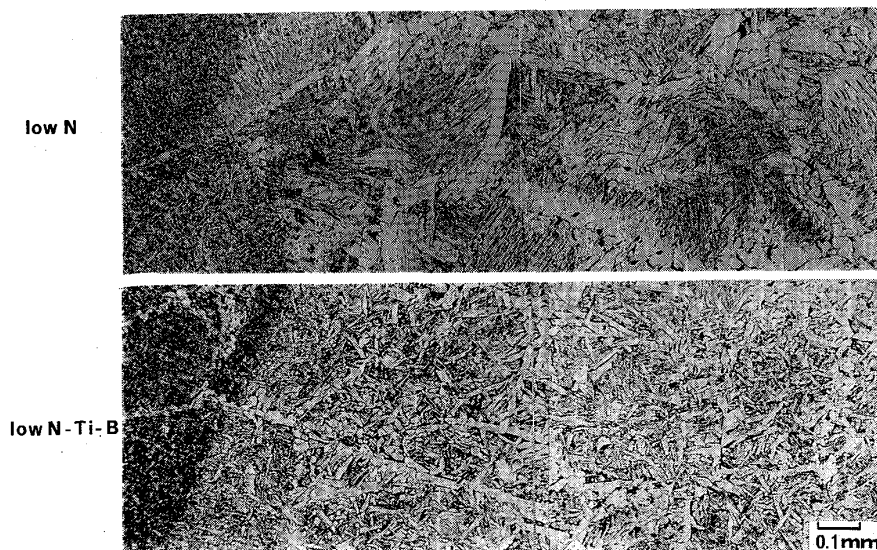


Photo. 3. Microstructures of welded joints.

一例を示す。両鋼種とも 670°C までは、オーステナイト粒界より変態した粒界アロトリオモルフが見られるが、650°C では低N系はワイドマンステッテンサイドプレートが発達し始め、Ti, B を添加した鋼Bは IFP が観察されるようになる。625°Cになると、鋼Aではワイドマンステッテンサイドプレートが、鋼Bでは IFP の著しい発達がみられる。この変態過程の組織を、粒界アロトリオモルフ (F_p)、粒界マッシブフェライト (F_m)、ワイドマンステッテンサイドプレート (F_s)、IFP、上部ペーナイト (Bu)、パーライト (P)、高炭素島状マルテンサイト (M^*) に分類して、両鋼種の組織割合を Fig. 3 に示す。この図より、鋼Bは IFP の発達が著しいという特徴がある。

3・3 粒内フェライト変態核の観察

鋼Bについて IFP 生成核の同定をおこなつた。鋼Bの材料を相当入熱 130 kJ/cm、最高温度 1400°C の熱サイクルを与え、粒内変態を開始した温度より焼入れ、Speed 法で腐食後、IFP の生成場所を含む抽出レプリカを作成した。

IFP 内部に観察される比較的大きな析出物について、それを変態核と考えて同定をおこなつた。同定した析出物のうち、代表的なものを Photo. 5 に示す。IFP 生成核は、サイズが数 μm で $\text{TiN} + \text{MnS} + \text{Fe}_{23}(\text{CB})_6$, $\text{TiN} + \text{MnS} + \text{Fe}_3(\text{CB})$ などの複合析出物である。TiN, MnS についても、微小領域分析電子顕微鏡により同定している。析出物体積の大きな割合を占める MnS, 最

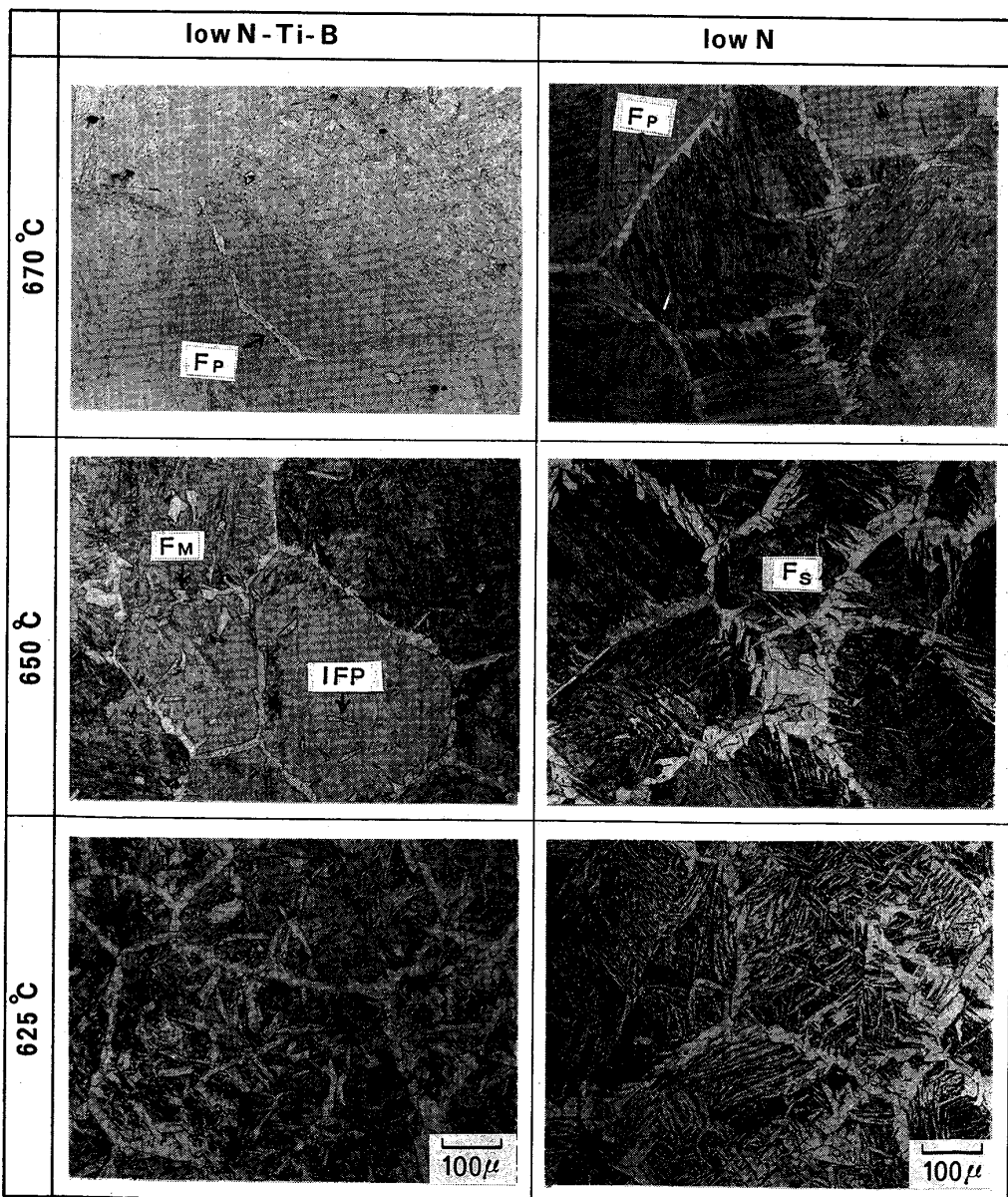


Photo. 4. Microstructure of transformation process.

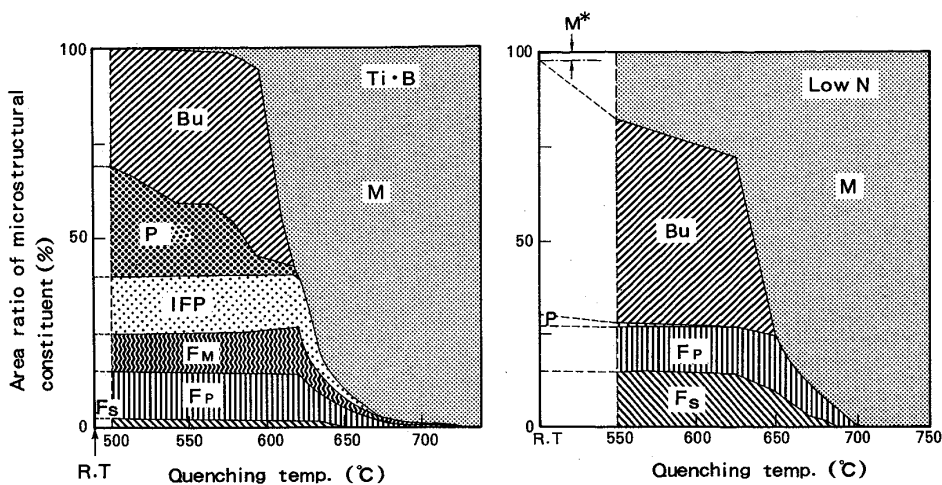


Fig. 3. Diagram showing area ratio of microstructural constituents of Ti-B-low N and low N steels.

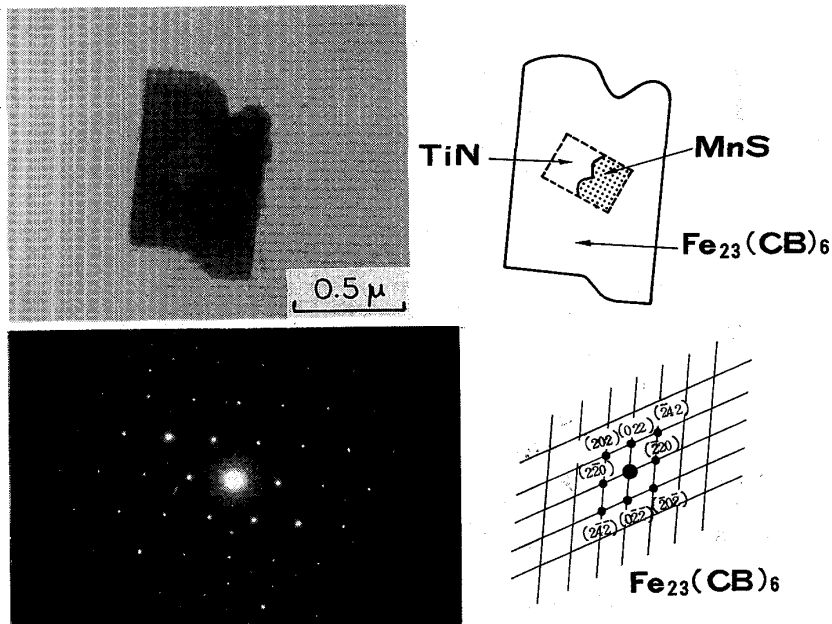


Photo. 5. TiN-MnS-Fe₂₃(CB)₆ complex precipitate.

外殻の鉄の炭ほう化物が、IFP 生成に寄与していることが考えられる。溶接熱サイクルでは、核となる TiN-MnS は、大きく変化せず、そのまわりの $Fe_n(CB)_m$ の析出過程が大きな変化と考えられる。

3・4 粒界初析フェライトの観察

3・2 節で示したように、低 N-Ti-B 系の一つの大きな特徴として、粒界フェライトの幅が狭く、それがワイドマンステッテンサイドプレートに発達していない。そこで、鋼 A,B について粒界フェライトの生成、成長過程を観察した。130 kJ/cm 相当入熱、最高温度 1400°C の熱サイクルの途中急冷材の粒界フェライトの最大厚さを測定した。Fig. 4 にその結果を示す。Photo. 6 に 650°C 急冷材の光顕写真 (Photo. 6(a))、同一視野の

B-autoradiography (Photo. 6(b)) および電子顕微鏡レプリカ組織 (Photo. 6(c)) を示す。Fig. 4 より外挿して求めた Ar_3 点は、Ti, B 添加材の方が若干高い。また、Photo. 6(a), (b) より旧オーステナイト粒界の B 析出物が多いところほど、粒界フェライトが発達している。Photo. 6(c) に示した析出物の種類は、電子顕微鏡で分析した結果であるが、B 析出物は BN (点状微細析出物、0.1 μm 程度) だけでなく、BN よりもサイズの大きい $Fe_{23}(CB)_6$ (1 μm 程度) も同時に存在していることがわかる。この結果は、オーステナイト粒界に粗大 $Fe_{23}(CB)_6$ が $\gamma \rightarrow \alpha$ 変態に先立つて析出する場合には、粒界フェライトの核生成は促進されることを示唆している。

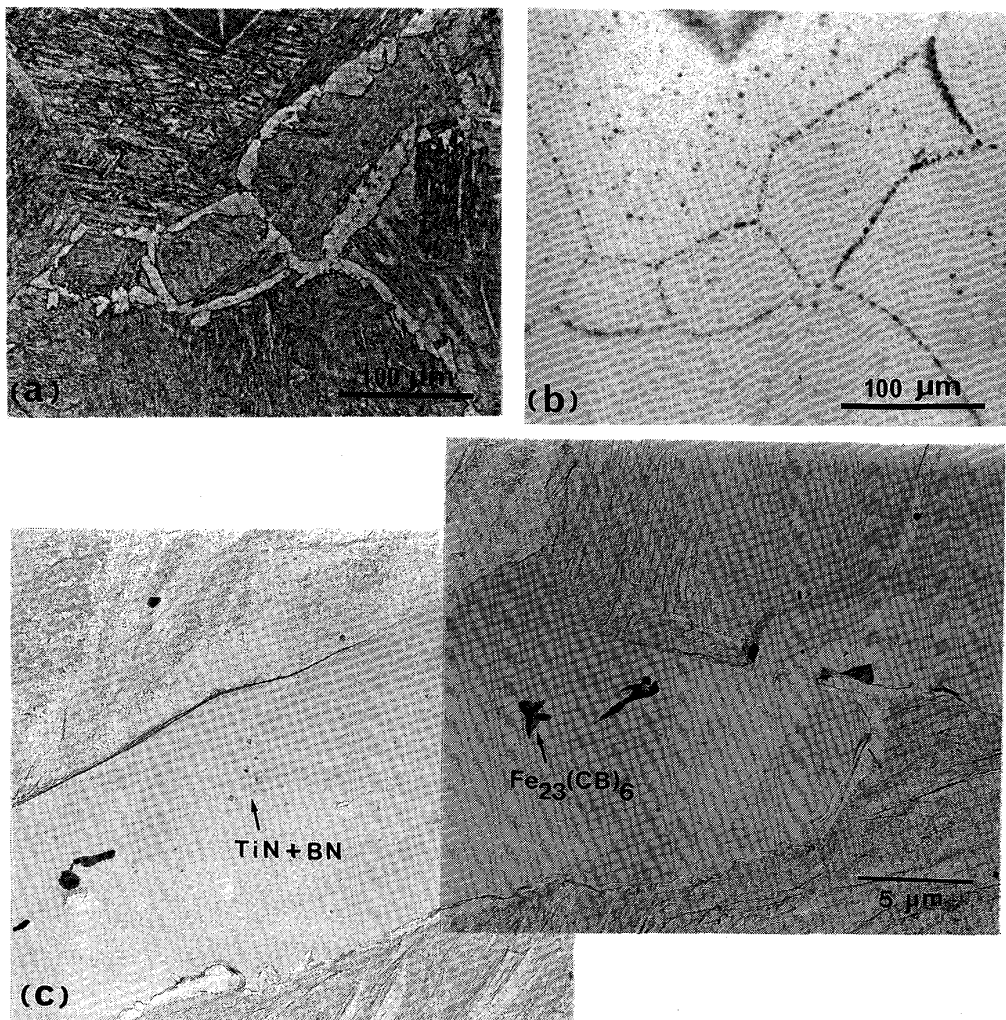


Photo. 6. Distribution of precipitation containing boron at grain boundary.

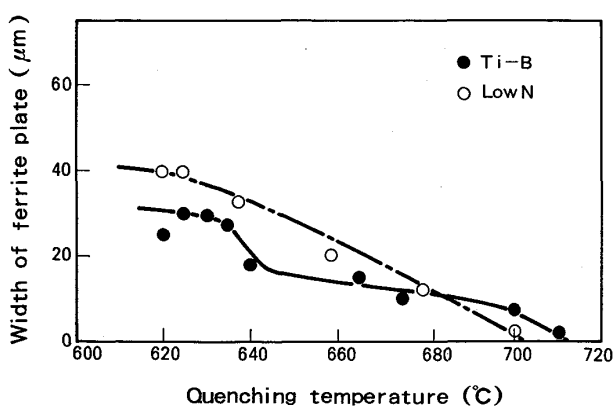


Fig. 4. Growth rate of grain boundary allotriomorphs of Ti-B-low N and low N steels.

また、Fig. 4 より粒界フェライトの増加割合は、鋼 B の方が抑制されている。Photo. 7 には、粒界フェラ

イト内部の析出物を同定した結果を示すが、 γ/α 界面にほぼ平行に点列状微細析出した BN, $Fe_{23}(CB)_6$ が観察される。この結果は、 γ/α 界面が固溶 B を引き摺りながら移動し、それが γ/α 界面の移動を抑制していることを示唆している。

4. 考 察

4・1 IFP の生成機構

IFP の生成核となる介在物、析出物が溶接熱影響部で発見されたのは比較的新しく、最初は溶接金属において、その存在が確認された。

ABSON ら⁷⁾, ついで KIRKWOOD⁷⁾, FARRAR ら⁸⁾, DEVILLERS ら⁹⁾, COCHRANE ら¹⁰⁾ は、 $MnSiO_2$, $Al_2(SiO_2)_3$, MnS , TiO_2 などが溶接金属の IFP 核となることを見出したが、生成機構についての考え方は明確でなく、実証もなされていない。また、森ら¹¹⁾ は Ti-B 添加溶接金属に

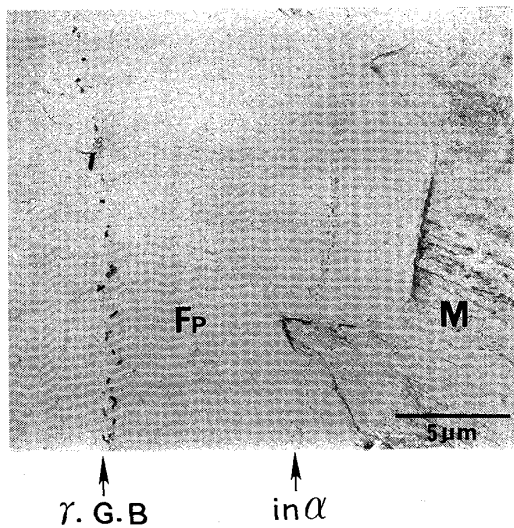


Photo. 7. B precipitates array. Electronmicroscopy by means of extraction replica method.

おいて、 TiO を核にして IFP が生成することを見出し、その機構としてエピタキシャル成長説を提案した。しかし、 Ti 酸化物においては、 TiO 以外に Ti_2O_3 , Ti_2O_5 なども IFP 核となり得ること、また TiO よりも整合性のよい Ce_2S_2O , La_2S_2O に IFP 核の機能がほとんど存在しないことなどから判断して、エピタキシャル成長説だけで、IFP 生成機構を説明することには、かなり問題が多いと考えられる。

溶接熱影響部に関する報告例は少ないが、船越ら²⁾は、REM-B 添加鋼に IFP の生成が認められ、 $Ce_2S_2O + BN$ 複合析出物が核となっていることを報告している。しかし、この場合にも、IFP の生成機構について詳細な説明はなされていない。

本研究の低 N-Ti-B 鋼においては、Photo. 5 などから明らかのように、IFP の生成核となる析出物は、(i) $TiN + MnS + Fe_{23}(CB)_6$ (ii) $TiN + MnS + Fe_3(CB)$ などの複合析出物であり、複合析出物の最外殻に鉄の炭ほう化物が析出することが、大きな特徴として挙げられる。もし、鉄の炭ほう化物の析出進行過程において IFP 変態が始まるとすれば、オーステナイト中の C の拡散速度が速くても、複合析出物/オーステナイト界面に C の希薄域が消滅することなく存在し、その広がりが十分大きければ、IFP の核生成に対して極めて都合のよいサイトとなることが示唆される。そこで、1例として $Fe_{23}(CB)_6$ の析出温度と IFP 変態温度との関係を調べてみると、Fig. 5¹²⁾ のようになり、明らかに析出の進行中に IFP 変態が生じることがわかる。この図は、グリーブル試験機により、溶融後種々の連続冷却で冷却した時

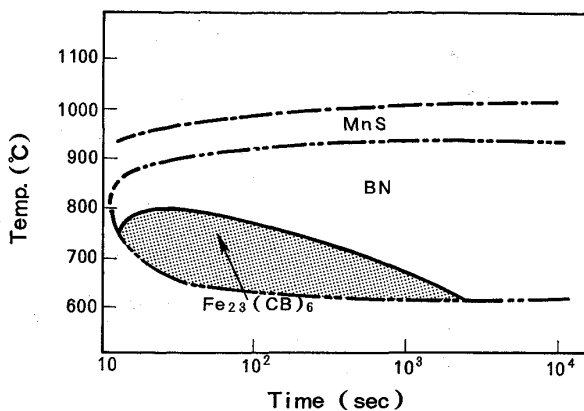


Fig. 5. Precipitation diagram of $Fe_{23}(CB)_6$, BN and MnS.

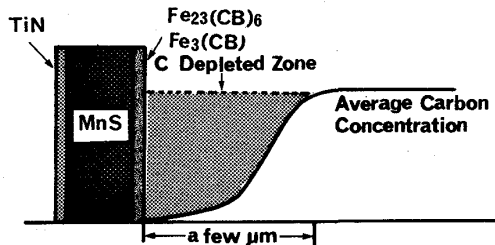


Fig. 6. Model of intragranular ferrite plate nucleation.

のこれら析出物の析出温度域を実験データに基づき模式的に示したもので、横軸は $1300^\circ C$ よりの冷却時間である。つぎに、C 希薄域の幅 Δx について考えてみる。いま、Fig. 6 に模式的に示したように、析出物は板状の厚さ d の $Fe_3(CB)$ で、析出物の C は斜線部のオーステナイト中の C (本研究では、 $C=0.08 \text{ wt\%}$) の排出によって供給されると仮定すると、一次元モデルで、オーステナイト中の C は 0.37 at\% 、 $Fe_3(CB)$ 中の C は、B を無視して $100/4 \text{ at\%}$ とするとき

$$0.37/100 \Delta x = 1/4d \quad \dots \dots \dots \quad (1)$$

となり、 $d=0.1 \mu m$ (電顕での観察結果) とすると、 $\Delta x = 6.8 \mu m$ となる。この大きさは、IFP の核生成に対して十分な広がりであると考えられる。以上の考察から明らかのように、低 N-Ti-B 鋼の IFP 生成に対して、複合析出物の最外殻に存在する炭ほう化物は極めて重要な作用をし、複合析出物/オーステナイト界面に C の希薄域を形成することにより、IFP 変態を促進するものと考えられる。複合析出物に存在する MnS は、最外殻の核サイトとしての役割とともに、IFP 核としての表面積を確保する役割を果たしているものと考えられる。

4.2 Bによる粒界フェライトの抑制機構

4.1で述べた粒内変態を促進するためには、オーステナイト粒界でのフェライト生成が抑制されることが必要で、Fig. 4 に示すように粒界フェライトの発生は、B無添加鋼より早いが、成長速度は抑制されている。Bは一般に冷却速度の速い場合は、粒界に偏析して焼入性を向上させるが、その原因是、フェライトの核生成速度の抑制にあるといわれている。一方、冷速の遅い場合は、粒界への鉄の炭ほう化物の析出により焼入性が低下するといわれている。本実験のように比較的冷却速度の遅い場合は、確かにBの存在により粒界フェライトの核生成はやや促進される傾向にあるが、しかし、核生成後の成長は著しく抑制されているといった極めて大きな特徴を示す。Photo. 7 は、粒界フェライトとの関係を示したものであり、粒界フェライトに平行に点列状に微細 $Fe_{23}(CB)_6$ 、BNが観察される事実は、このように冷速が遅い場合でも、オーステナイト中に固溶Bが存在することと、この固溶Bを、 γ/α 界面が掃き寄せながら移動する結果、フェライトの成長に伴つて γ/α 界面のB濃度が増大し、溶解度が超えた時点で γ/α 界面に沿つて析出することを示唆している。フェライトの成長速度 dx/dt は、古典論によれば、(2)式のように与えられる。

$$dx/dt = D_c^\gamma \left(\frac{\partial C}{\partial x} \right) \times (C_\gamma^{\gamma\alpha} - C_\alpha^{\gamma\alpha})^{-1} \quad \dots \dots \dots (2)$$

ここで、 D_c^γ は γ 中の C の拡散定数、 $C_\gamma^{\gamma\alpha}$ 、 $C_\alpha^{\gamma\alpha}$ はそれぞれ γ および α での γ/α 界面の C 濃度である。もし、B-C interaction があるとすれば、(i) B の存在によつて D_c^γ が変わる。(ii) B が優先的に偏析することによつて、C の粒界濃度が減少する結果 $(\frac{\partial C}{\partial x})$ が減少する。などが考えられる。Fig. 7 は模式的にこれを示したものであるが上段はB添加材の α/γ 粒界の Soluble B の時間的变化、下段は、フェライト中の時間的变化を示す。粒界偏析Bの増加とともにフェライトの成長速度は減少し、析出が生じた時点で速度は零になる。この仮説の実証は今後の課題である。

5. 結 論

Si-Mn 系大入熱溶接用鋼として、低 N 系と低 N-Ti-B 系について比較検討をおこない以下のがわかつた。(1) 低 N-Ti-B 系により -60°C 用の大入熱溶接用鋼としての靭性のすぐれた HT50 が得られた。(2) 韭性のすぐれている理由として、M* の消滅、固溶Nの低減および破面単位の細粒化などが考えられる。(3) 破

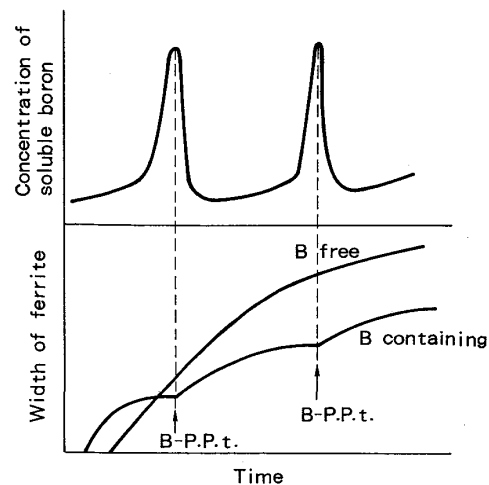


Fig. 7. Growth model of IFP with boron steel.

面単位が細かいのは、Bによる粒界フェライトの成長抑制と IFP の著しい生成によつている。(4) IFP の生成核は、TiN-MnS のまわりに炭ほう化物が析出した複合析出物で、炭ほう化物の析出による C の希薄域の存在が IFP を生成させたと考えられる。

終わりにあたつて本研究の IFP 核の電顕分析を担当して下さつた分析センター小松肇氏および種々の助言をいただいた八幡技術研究部矢野清之助氏に対し謝意を表します。

文 献

- 1) 金沢正午, 中島 明, 岡本建太郎, 金谷 研: 鉄と鋼, 61 (1975), p. 2589
- 2) 船越督己, 田中智夫, 上田修三, 石川正明, 腰塚典明, 小林邦彦: 鉄と鋼, 63 (1977), p. 303
- 3) 渡辺 之, 鈴木元昭, 東田幸四郎, 山崎喜崇: 日本钢管技報 (1983) 97, p. 1
- 4) V. F. ZACKEY and H. I. AARONSON: Decomposition of Austenite by Diffusional Process (1962), p. 390
- 5) 黒澤文夫, 田口 勇, 谷野 満: 日本金属学会会報, 20 (1981), p. 377
- 6) D. J. ABSON and R. E. DOLBY: The Welding Institute Conference, Trends in Steels and Consumables for Welding, London (1978 年 11 月)
- 7) P. R. KIRKWOOD: Metal Constr., 10 (1978), p. 260
- 8) R. J. FARRAR and M. N. WATSON: Metal Constr., 11 (1979), p. 285
- 9) L. DEVILLERS, D. KAPLAN, B. MARANDET, A. RIBES, P. V. RIBOUD: The Welding Institute Conference, The Effects of Residual, Impurity and Micro-Alloying Elements on Weldability and Weld Properties, London (1983 年 11 月)
- 10) R. C. COCHRANE, J. L. WARD and B. R. KEVILLE: 同上
- 11) 森 直道, 本間弘之, 大北 茂, 若林正邦: 溶接学会誌, 50 (1981), p. 174
- 12) 山本広一, 松田昭一, 向井俊夫, 小松 肇, 大野恭秀: 鉄と鋼, 68 (1982), S 1513